

# تولید لتی ویروس‌های نوترکیب ناقل ژن فاکتور نوروتروفیک با تیتر بالا و انتقال آن‌ها به آستروروسیت‌های انسانی GDNF

نفیسه دهشکار گونه فراهانی<sup>۱</sup>، موسی گردانه<sup>۲\*</sup>، حسین عطار<sup>۳</sup>، نادر مقصودی<sup>۴</sup>،  
عباس رحیمی شم‌آبادی<sup>۵</sup>، احسان قریب<sup>۶</sup>

- ۱- دانشجوی کارشناسی ارشد مهندسی شیمی- بیوتکنولوژی، دانشکده فنی و مهندسی، دانشگاه آزاد اسلامی واحد علوم تحقیقات
- ۲- استادیار ژنتیک مولکولی، دپارتمان ژنتیک ملکولی، پژوهشگاه ملی مهندسی ژنتیک و زیست فناوری
- ۳- استادیار بیوتکنیک، دانشکده فنی و مهندسی دانشگاه آزاد اسلامی واحد علوم تحقیقات
- ۴- دانشیار، زیست شناسی سلولی مولکولی، مرکز تحقیقات علوم اعصاب، دانشگاه علوم پزشکی شهید بهشتی
- ۵- دانشجوی کارشناسی ارشد ژنتیک و اصلاح نژاد دام، دپارتمان ژنتیک ملکولی، پژوهشگاه ملی مهندسی، ژنتیک و زیست فناوری و دانشکده کشاورزی، دانشگاه زابل، سیستان و بلوچستان
- ۶- دانشجوی کارشناسی ارشد، دپارتمان ژنتیک ملکول، پژوهشگاه ملی مهندسی ژنتیک و زیست فناوری، وپردیس کیش دانشگاه تهران

\*تهران، صندوق پستی ۱۴۹۶۵/۱۶۱

mossa65@nigeb.ac.ir

(دریافت مقاله: ۸۹/۹/۱۳ پذیرش: ۹۰/۲/۴)

**چکیده**- لتی ویروس از مؤثرترین ویروس‌های نوترکیب برای انتقال ژن به سلول‌ها و بافت‌های پستانداران است. این مطالعه دو بخش اساسی دارد: بررسی کارایی ستون‌های پروتئینی در تولید لتی ویروس‌های نوترکیب با تیتر بالا و به کارگیری این ستون‌ها در تولید لتی ویروس‌های نوترکیب حامل ژن فاکتور نوروتروفیک GDNF. در بخش اول مطالعه با استفاده از دو ناقل (حامل GFP یا Jred) لتی ویروس نوترکیب تولید کردیم. با انتقال سوپرناتان سلول‌های ترانسفکت شده به ستون‌های پروتئینی Amicon و سانتریفوگر ستون‌ها بیش از ۹۹٪ سوپرناتان را جدا کردیم تا استوک ویروسی با حجم  $1\text{ ml}$   $500$  از سوپرناتان غلیظ شده و مملو از ویریون‌ها به دست آید. با افزودن رقت‌های مختلف این استوک ویروسی به سلول‌های هدف، انتقال سلولی با موقیت انجام شد به طوری که ترانسیژن‌های گوارشگر در  $100\%$  سلول‌ها مشاهده شد. همچنین تست بخش رقیق سوپرناتان، منجر به هیچ‌گونه بیان ژن که نشانگر فعالیت ویروسی باشد نشد. تولید تیتر بالای ویروسی با روش فیلتراسیون مزبور برای انتقال موقیت‌آمیز ژن‌ها اهمیت دارد و از نظر هزینه، حجم کار و زمانبری بر سایر روش‌ها ارجحیت دارد. در بخش دوم این مطالعه، توالی مربوط به فاکتور مهم GDNF را به سازه لتی ویروسی پیوند زدیم و به روش گفته شده، ویروس‌های تیتر بالا تولید کردیم. با انتقال این ویروس‌ها به آستروروسیت‌های انسانی توانستیم افزایش  $3$  برابر بیان ژن GDNF را در سطح mRNA بدست آوریم. این نتایج نشان داده که میتوان لتی ویروس‌های حامل GDNF را با روش گفته شده در تیتر بالا تولید و از آن برای مطالعات تمایزی و حفاظت نورونی استفاده کرد.

**کلید واژگان:** لتی ویروس، انتقال ژن، ستون‌های پروتئینی، فاکتور نوروتروفیک.

ایمنی بدن آن‌ها نسبت به این ویروس‌ها پیش‌پیش تحریک نشده است؛ در حالی که بیشتر جوامع بشری حداقل نسبت به یکی از تیپ‌های آدنوویروس‌ها آلوود شده است [۸]. ۲) نیمه‌عمر RNA‌هایی که لته ویروس‌ها تولید می‌کنند خیلی کوتاه است و فرصت آن را پیدا نمی‌کنند که سیستم ایمنی میزبان را تحریک کنند. ۳) ویروس‌های AAV (Adeno-associated) شبیه لته ویروس‌ها می‌توانند به آسانی بافت‌هایی مثل سیستم عصبی، ریه و کبد را آلوود کنند [۹]. اما ظرفیت پذیرش ژن خارجی در آن‌ها حداقل ۵ کیلوباز یعنی تقریباً نصف ظرفیت بیشینه لته ویروس‌ها است [۱۰]. مزیت دیگر لته ویروس‌ها در الحاق ژنهای خارجی به بخش‌های فعال ژنوم میزبان است درحالی‌که رترووویروس‌ها عمدتاً گرایش به بخش غیرفعال یا هتروکروماتین دارند [۱۱] و [۱۲]؛ بدین سبب امکان فعال کردن ژن‌های خطرآفرین مثل پروتونکوژن‌ها (ژن‌های بالقوه سرطان‌زا) در بدن میزبان به وسیله‌ی لته ویروس‌ها به مراتب کمتر از رترووویروس‌هاست. در نهایت بیان ترانسژن‌ها به‌شکل پایدار و بدون آن‌که به وسیله‌ی میزبان خاموش شده باشد، به اثبات رسیده است که این امر از مقاومت بالای لته ویروس‌ها نسبت به رترووویروس‌ها در برابر خاموشی ژنی (Gene Silencing) حکایت می‌کند [۱۳]. به سبب داشتن این ویژگی‌های برجسته، لته ویروس‌ها در انتقال ژن به سلول‌های مختلف انسان و پستانداران و به خصوص به بافت‌هایی مثل سیستم عصبی یا بافت کبد که سلول‌های تقسیم‌ناپذیر دارند، اهمیت روز افزون پیدا کرده است [۱۴].

بالا بودن تیتر ویروسی در افزایش قدرت آلوودسازی ویروس اهمیت زیادی دارد. برای رسیدن به این هدف، ذرات ویریونی را پس از تولید تغليظ می‌کنند. برای تغليظ لته ویروس‌ها به‌طور سنتی از اولتراسانتریفوژ

## ۱- مقدمه

انتقال ژن در زمرة ضروری‌ترین روش‌های مرتبط با بخش مهمی از مطالعات تکاملی و فیزیولوژیکی، تشخیص بیماری‌ها، درمان و پیشگیری از آن‌ها به‌شمار می‌رود. ابزارهای متعدد و گونه‌گون برای انتقال ژن به وجود آمده است که بیشتر دو دسته ناقلین ویروسی و ناقلین غیروویروسی تقسیم می‌شوند [۱]. به خاطر توانایی طبیعی ویروس‌ها در انتقال ژن و الحاق به ژنوم میزبان بخش ضروری از دوره حیاتی خود، اشکال تغییر یافته آن‌ها به عنوان ابزاری برای انتقال ژن‌های بیگانه به سلول‌های میزبان به‌کار می‌رود. لته ویروس از جمله این ناقلین ویروسی است که به خاطر ویژگی‌های برجسته مورد توجه قرار گرفته است.

لته ویروس‌ها از دسته‌ی ویروس‌های آرام (Slow viruses) از خانواده رتروویریده (Retroviridae) است که دوره انکوباسیون طولانی دارند. لته ویروس‌ها خصوصیات برجسته‌ای دارند که موجب معرفی آن‌ها به عنوان یکی از بهترین ناقلین برای انتقال ژن به سیستم عصبی مرکزی [۲]، بافت کبدی [۳] و حتی بافت خونی [۴]، مغز استخوان [۵] و ریه [۶] شده است. در مقایسه با رترووویروس‌ها، لته ویروس‌ها با داشتن مکانیسم پیچیده‌ای بدون نیاز به تقسیم سلولی می‌توانند وارد هسته میزبان شده و الحاق به ژنوم آن را پیش ببرند و بدین ترتیب هردو نوع سلول یعنی سلول تقسیم‌پذیر و تقسیم‌ناپذیر را آلوود کنند [۷]. گرچه کارایی ویروس‌هایی مثل آدنوویروس‌ها از نظر انتقال ژن ممکن است شبیه لته ویروس‌ها باشد ولی لته ویروس‌ها از لحاظ تحریک سیستم ایمنی بدن بر آدنوویروس‌ها برتری دارند؛ زیرا (۱) بجز بیماران HIV<sup>+</sup> سایر افراد جوامع، آنتی ژن مرتبط با این ویروس‌ها را در بدن خود ندارند و بنابراین سیستم

مناسب در بافر و شرایط اعلام شده به وسیله‌ی سازنده آنزیم، برش یافته و روی ژل آگاروز ۱٪ تفکیک شدند. برای تخلیص DNA، نمونه‌ها از روی ژل بریده شده و پس از حل آگاروز در محلول سوپاپانسیون موجود در کیت، نمونه‌های DNA با استفاده از ستون‌های مخصوص موجود در کیت و طبق راهنمای شرکت سازنده، تخلیص شدند. برای تهیه نمونه DNA در مقیاس کوچک (Miniprep) نیز از کیت‌های استخراج پلاسمید استفاده شد که طی آن باکتری‌های نمونه، لیز و پس از رسوب پروتئین‌ها و اجزای سلولی، DNA پلاسمیدی با استفاده از ستون‌های کوچک تخلیص شدند. واکنش‌های لیگاسیون با استفاده از آنزیم لیگاز (فرمتاس) در ۱۶ درجه انجام شد. این واکنش‌ها بیشتر شامل نمونه ناقل برش یافته (حدود ۱۰۰ نانوگرم)، نمونه DNA هدف برش و تخلیص شده (نیم تا ۱ میکروگرم)، بافر لیگاسیون و آنزیم لیگاز (واحد) در حجم ۲۰ میکرولیتر در طول شب انجام شد. برای تست درستی لیگاسیون از کلنی باکتری‌ها نمونه محدود کننده معین برش داده شدند تا قطعات مورد نظر حاصل شود.

## ۲-۲- کشت سلول

سلول‌های مولد ویروسی از رده HEK-293T و آستروسویت‌های انسانی رده ۱۳۲۱N1 در محیط DMEM همراه ۱۰٪ سرم FBS در شرایط ۳۷ درجه و ۵٪ CO<sub>2</sub> کشت و پاساژ داده شدند. برای ترانسفکشن و تولید ویروس، ۲ میلیون سلول HEK-293T در ظرف‌های پتری ۱۰ سانتی‌متری گرد و مخصوص کشت سلول، ۲۴ ساعت قبل از ترانسفکشن کشت داده شدند تا در روز بعد حدوداً ۶۰-۵۰٪ فضای ظرف پتری را پر کنند. برای

استفاده می‌کنند؛ گرچه در موارد نادری نیز از روش‌های کروماتوگرافی به خصوص در مقیاس بالا بهره گرفته‌اند [۱۵]. در این مطالعه ما برآن شدیم تا با تغییظ ویروس با روش ساده‌تر و کم‌هزینه‌تر و سریع‌تر تیتر بالایی از لنتی‌ویروس‌ها را به دست آوریم؛ به‌طوری‌که با افزودن بخش کوچکی از آن به سلول‌های هدف توانستیم سلول‌های میزبان را ۱۰٪ با ویروس آلوده کنیم. از این روش برای تولید لنتی‌ویروس‌های حامل ژن فاکتور رونویسی GDNF استفاده و با آلوده‌سازی سلول‌های انسانی، افزایش بیان آن را آشکار کردیم.

## ۲- مواد و روش‌ها

### ۲-۱- بیولوژی مولکولی

ناقل pGtx/GFP و ناقلين لنتی‌ویروسی به نام‌های pLV-eGFP (pNL-EGFP/CMV-WPRE) (ناقل یا ترانسفر)، pCD/NL-BH\*ΔΔΔ (ناقل بسته‌بندی Dr. J. LTR-G (ناقل غشایی) از آزمایشگاه Reiser pcDNA3.1/Zeo (+) تهیه شد [۱۶]. ناقل (-) Dr. K. Kiuchi (Gifu, Japan) آزمایشگاه mGDNF (Kozak) حامل توالی GDNF موشی از Dr. K. Kiuchi (Gifu, Japan) [۱۷] در ژاپن تهیه و پیش‌تر به وسیله‌ی نویسنده مسئول و همکاران از آن استفاده شده است [۱۸]. خالص‌سازی نمونه‌های پلاسمیدی با استفاده از کیت Maxiprep از کیاژن انجام شد. کیت استخراج از ژل نیز از Roche تهیه شد. آنزیم‌های محدود کننده از فرمتوس و آنزیم لیگاز از پرومگا خریداری شد.

تمام مراحل مربوط به خالص‌سازی DNA، برش‌های آنزیمی و واکنش لیگاسیون مطابق دستور سازنده مواد و یا طبق روش‌های استاندارد انجام شد [۱۹]. به‌طور خلاصه نمونه‌های DNA به وسیله‌ی آنزیم‌های محدود کننده

لوله‌های میکروفیوژ متقل کرده و از آن به عنوان استوک ویروسی فوری استفاده کردیم. برای آلوده کردن سلولهای هدف حجم‌های مختلف از این استوک را به آرامی به سلول‌ها اضافه کرده و در شرایط رشد ذکر شده در بالا انکوبه کردیم تا بیان ترانسژن فلورستی دیده شود؛ همچنین برای اطمینان از نبودن ویروس فعال در محلول عبور داده شده از فیلتر، مراحل آلوده‌سازی ویروسی را روی آن‌ها نیز به اجرا گذاشتیم. تصاویر سلول‌ها در مراحل ترانسکشن و آلودگی ویروسی زیر میکروسکوپ فلورستن را جمع‌آوری کردیم.

واکنش RT-PCR: نود و شش ساعت پس از انتقال High Pure سلولی، کل RNA را با استفاده از کیت RNA Isolation Kit (Roche) استخراج کردیم و پس از تیمار با DNase با انجام ژل الکتروفورز از سالم بودن آن اطمینان حاصل کردیم. برای ستنز cDNA از ۲ میکروگرم نمونه RNA در یک واکنش ۱ ساعته در دمای ۴۲ درجه استفاده کردیم که در آن از آنزیم MuLV reverse transcriptase (Fermentas, Lithuania) هگزامرهای تصادفی و RNase inhibitor استفاده شد (جدول ۱).

جدول ۱ اجزای واکنش رونویسی معکوس

اجزاء واکنش RT-PCR بخش رونویسی معکوس	مقادیر
RNA template	2 $\mu$ g
MuLV Reverse Transcriptase (20U/ $\mu$ l)	1 $\mu$ l
Random Hexamers	1 $\mu$ l (0.2 $\mu$ g)
dNTP	1 $\mu$ l of 10mM stock
RNase Inhibitor (Ribolock Inhibitor) (40U/ $\mu$ l)	1 $\mu$ l
RT Buffer (10X)	4 $\mu$ l

آلوده‌سازی ویروسی نیز ۵۰ هزار سلول، ۲۴ ساعت قبل از آلوده‌سازی در پلیت‌های ۲۴ خانه کشت داده شدند.

### ۳-۲- تولید ویروس

برای تولید لتی ویروس‌های نوترکیب و فعال، سلول‌های مولد ویروس را همزمان با سه ناقل لتی ویروسی به میزان  $15 \mu$ g از ناقل ترانسفر، و  $10 \mu$ g میکروگرم از هریک از ناقلين بسته‌بندی و غشایی با روش رسوب -DNA فسفات کلسیم ترانسفکت کردیم. برای تشکیل رسوب مذکور، DNA را همراه  $50 \mu$ l کلرید کلسیم  $2.5 \text{ mM}$  با آب استریل، به حجم  $500 \mu$ l رساندیم و هم حجم آن  $2 \times \text{HEPES}$  اضافه کردیم. محلول حاصل را ۲۰ دقیقه در دمای اطاق و زیر هود نگه‌داشتم تا رسوب مطلوب به دست آید؛ سپس این رسوب را قطره قطره به آرامی به سلول‌ها اضافه کردیم. پس از آن سلول‌ها مدت ۶-۸ ساعت انکوبه شدند و بعد محیط آن‌ها با محیط جدید تعویض شد. بعد از این مراحل سلول‌ها تا تولید ویروس و رها سازی آن به محیط در شرایط انکوباتوری گفته شده نگه‌داری شدند.

### ۴-۲- تنظیم ویروس و آلوده‌سازی سلولهای هدف

محیط سلول‌های ترانسفکت شده در ۲۴ و ۴۸ ساعت بعد جمع‌آوری شده و از فیلتر  $0.45 \mu\text{m}$  گذرانده شد. محیط فیلترشده را درون ستون‌های Amicon-100 MW (Millipore) (ریخته و به مدت ۱۰ دقیقه با دور ۴۵۰ rpm) سانتریفیوژ کردیم. این مرحله منجر به عبور بخش اعظم سوپرناتان از فیلتر ستون بالا و عملأً جداشدن آن از بقیه محلول شد؛ به طوری که محلول باقیمانده در ستون حجمی معادل  $1 \mu$ l از محلول غلیظ و تیره؛ مملو از ذرات ویریونی پشت فیلتر جمع‌آوری شد. این محلول را به

و تعداد سلول‌های  $GFP^+$  و سلول‌های  $Jred^+$  با استفاده از نرم‌افزار Grid Cell Counter محاسبه شد [http://www.dnabaser.com/download/Cell-\(counter/grid-cell-counter.html](http://www.dnabaser.com/download/Cell-(counter/grid-cell-counter.html)

از پرایم‌های زیر برای تکثیر یک قطعه ۲۶۲ نوکلئوتیدی برروی **cDNA** سنتز شده استفاده کردیم [۱۸]:

Forward: 5'-CTTCCTCGAAGAGAGAGGAATCG-3'  
Reverse: 5'-GTTAGCCTCTACTCCGAGACAGG-3'

#### ۴-۲- آنالیز آماری

داده‌های مندرج در تصاویر جداول، نماینده میانگین (Mean $\pm$ SEM) حداقل ۳ آزمایش جداگانه است که به‌شکل تریپلیکیت تکرار شده‌اند. برای آنالیز تفاوت بین Student's t-test یا همان SPSS version 16 بررسی استفاده و سپس با نرم افزار SPSS version 16 استفاده و سپس با نرم افزار SPSS version 16 بررسی شد. ارزش  $P < 0.05$  را معنی‌دار و ارزش‌های  $P > 0.01$  و کمتر بسیار معنی‌دار تفسیر کردیم.

مقادیر مساوی از هر نمونه cDNA برای واکنش PCR به کار برده شد. نمونه‌ها ابتدا در ۹۵ درجه، ۲ دقیقه دناتوره شدند و سپس واکنش PCR طبق جدول (۲) روی آن‌ها انجام شد محصولات PCR روی ژل آگاروز ۱.۲ درصدی آنالیز شده و دانسیته باندهای حاصل به‌وسیله‌ی نرم‌افزار ImageJ (<http://rsbweb.nih.gov/ij/>) اندازه‌گیری شد. آزمایش‌های RT-PCR حداقل ۳ بار و هر بار به صورت آزمایش مستقل تکرار شد.

جدول ۲ شرایط انجام برای واکنش PCR

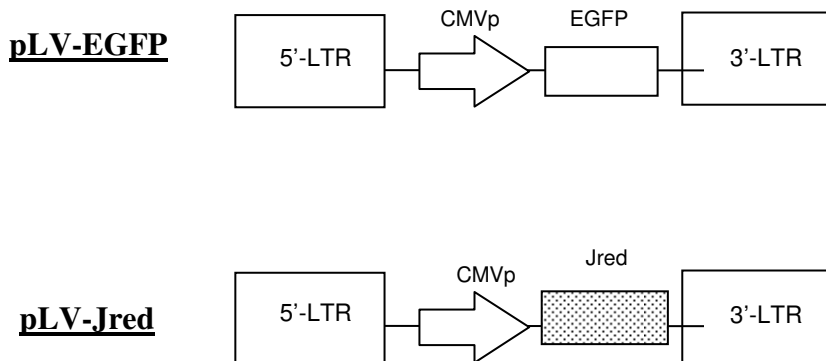
اجزای واکنش RT-PCR بخش	زمان	
95	2 min	
PCR reaction 30 cycles	Denaturation 94 °C	1 min
	Annealing 59 °C	1 min
	Extension 72 °C	1 min

#### ۳-۲- محاسبه سلول‌های $GFP^+$ و $Jred^+$

برای شمارش سلول‌ها از حدود ۱۰ میدان میکروسکوپی مختلف از هر چاهک ۹۶ خانه استفاده

۱-۳- تولید ناقل لتی‌ویروسی حامل ژن *Jred*  
گزارشگر

ما ناقل ترانسفر pLV-eGFP را با آنزیم‌های محدودکننده pLEX-Jred و ناقل دیگری به‌نام *NheI/XhoI* را با *BamHI* (Open Biosystems) برش دادیم تا اولی eGFP و دومی Jred را رها سازند. هر دو نمونه را با آنزیم Klenow در حضور dNTPs تیمار دادیم تا انتهای برش یافته آن‌ها به‌شکل Blunt درآید. بدین ترتیب ژن Jred آزادشده از pLEX-Jred را به‌جای ژن eGFP در pLV-eGFP پیوند زدیم تا pLV-Jred به‌دست آید (شکل ۱).

شکل ۱ شماتیک از دو ناقل لنتی ویروسی حامل ژن‌های گزارشگر *EGFP* و *Jred*

مورد اختلاف بسیار معنی‌داری نسبت به فواصل زمانی قبلی ایجاد شده است ( $P < 0.0001$ ) (شکل ۲-الف).

جدول ۱ شمارش سلول‌های مثبت به *GFP* و *Jred* به فواصل زمانی پس از ترانسفکشن.

	Hours Post-Transfection		
	6	12	18
GFP	$4.5 \pm 0.6$	$15 \pm 0.9$	$38 \pm 1.6$
Jred	$2 \pm 0.4$	$11 \pm 1.3$	$32 \pm 1.5$

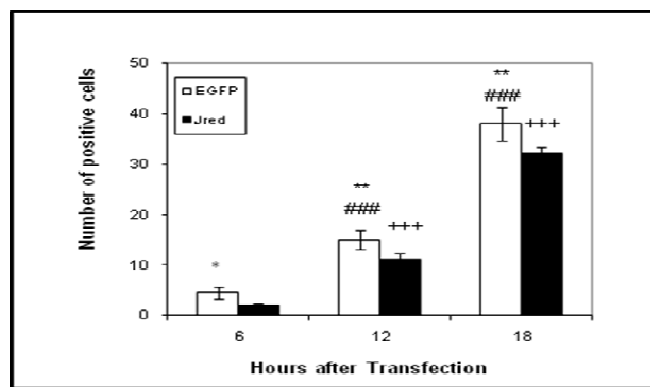
### ۳-۳- جمع‌آوری و تغییظ ویروس

سوپرناتان سلول‌های ترانسفکشن شده را هم ۲۴ و هم ۴۸ ساعت پس از ترانسفکشن جمع‌آوری کرد و به هم افزودیم. آزمایش‌های مقایسه‌ای ما نشان داده است که چنین ترکیبی قدرت آلوگری و انتقال ژن بالاتری نسبت به هر یک از دو محلول به طور جداگانه دارد. تغییظ ویروس با استفاده از ستون‌های مخصوص پروتئین‌های بزرگ‌تر از ۱۰۰ کیلودالتون انجام شد که به‌آسانی و در کمتر از ۱۵ دقیقه این مرحله به پایان رسید (شکل ۳). برای تست کارایی این روش، ما در مرحله بعدی هم از بخش غلیظ شده سوپرناتان و هم از بخش زاید و در ظاهر عاری از ویروس آن استفاده کردیم.

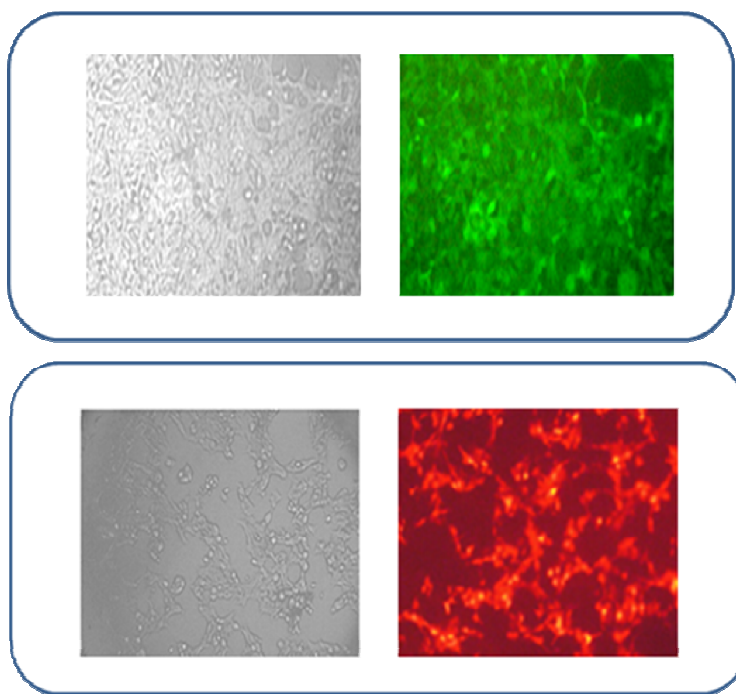
### ۲-۳- ترانسفکشن سلول‌ها و تولید ویروس

دو ناقل ترانسفر pLV-eGFP و pLV-Jred را جداگانه در آزمایش‌های ترانسفکشن به کار بردیم. سپس بیان پروتئین‌های eGFP و *Jred* به‌وسیلهٔ سلول‌های HEK-293T را زیر میکروسکوپ فلورسنت به ترتیب ۶، ۱۲ و ۱۸ ساعت پس از ترانسفکشن مشاهده کردیم. در این فواصل تعداد سلول‌های مثبت را به‌طور تصادفی در چندین میدان دید میکروسکوپی برای هر دو پروتئین شمارش کردیم که نتایج آن در جدول (۱) و شکل ۲-الف نشان داده شده است. شکل ۲- ب نیز تصاویر بیان را ۲۴ ساعت بعد نشان می‌دهد که طی آن بین ۹۵ تا ۱۰۰٪ سلول‌ها مثبت است.

آنالیز آماری نتایج حاصل نشان می‌دهد که با گذشت فواصل زمانی مشخص تعداد سلول‌های مثبت نیز برای هر دو ژن گزارشگر به‌شكلی معنی‌دار افزایش پیدا می‌کند. برای نمونه افزایش تعداد سلول‌های *GFP*<sup>+</sup> و *Jred*<sup>+</sup> بین دو فاصله زمانی با اختلاف ۶ ساعت بسیار معنی‌دار است ( $P < 0.001$ ). علاوه بر این افزایش تعداد سلول‌های *GFP*<sup>+</sup> و *Jred*<sup>+</sup> ۱۸ ساعت پس از ترانسفکشن به صورت تصاعدی به اوج خود رسیده است و در نتیجه در هر دو

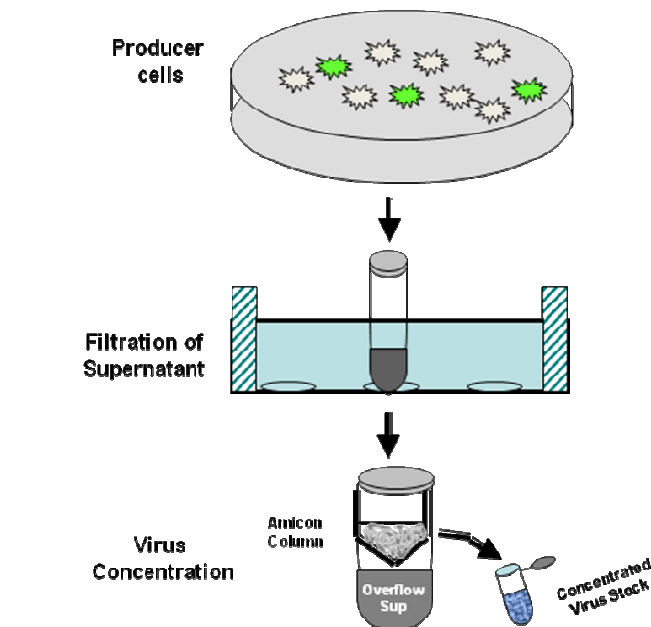


(الف)



(ب)

شکل ۲ تولید لتی ویروس های نوترکیب. الف) تعداد سلول های مثبت *HEK-293T* بیان کننده *EGFP* و *Jred* در مرحله ترانسفکشن. تعداد سلول ها در ۱۰ فیلد میکروسکوپی در هر ترانسفکشن شمارش و هر ترانسفکشن ۳ بار به طور جداگانه تکرار شد. در این تصویر هر ستون نماینده میانگین تعداد سلول ها در ۳ ترانسفکشن مجزا است. آنالیز آماری با تست Student's T-test انجام شد. تفاوت آماری در تعداد سلول های  $GFP^+$  بین ساعات ۶ و ۱۲ و بین ۱۲ و ۱۸ بصورت ( $P<0.001$  or  $P<0.0001$ ) نشان داده شده است؛ تفاوت آماری در تعداد سلول های  $Jred^+$  بین ساعات ۶ و ۹ و بین ۱۲ و ۱۸ به صورت ( $P<0.001$  or  $P<0.0001$ ) مشخص شده است. از سوی دیگر تفاوت آماری بین سلول های  $GFP^+$  و سلول های  $Jred^+$  در ساعت ۶ ( $P<0.05$ )<sup>\*</sup> به صورت و در ساعت ۱۲ و ۱۸ هر کدام به صورت ( $P<0.01$ )<sup>\*\*</sup> نشان داده شده است. شکل ۲ ب) تصویر میکروسکوپ فلورسنت از بیان پروتئین های گزارشگر *Jred* و *EGFP* به وسیله سلول های *HEK-293T* ترانسفکت شده با ناقلین *pLV-Jred* و *pLV-EGFP*



شکل ۳ مراحل استحصال لتی ویروس‌های نوترکیب: ۲۴ و ۴۸ ساعت بعد از ترانسفکشن، محیط کشت سلول‌های مولد که مملو از ذرات ویریونی است جمع آوری و سانتریفیوژ می‌شود. با انجام یک مرحله فیلتراسیون، از وجود آلودگی باکتریایی اطمینان حاصل شده و سپس محیط فیلترشده از ستون‌های Amicon-100 یا ستون‌های پروتئینی مشابه عبور داده می‌شود تا تغییض شود. [مأخذ: موسی گردانه. گزارش کارگاه: کاربرد لتی ویروس‌های نوترکیب در انتقال ژن و ژن درمانی - ۱۳۸۶ - پژوهشگاه ملی مهندسی زیستیک و زیست فناوری - تهران].

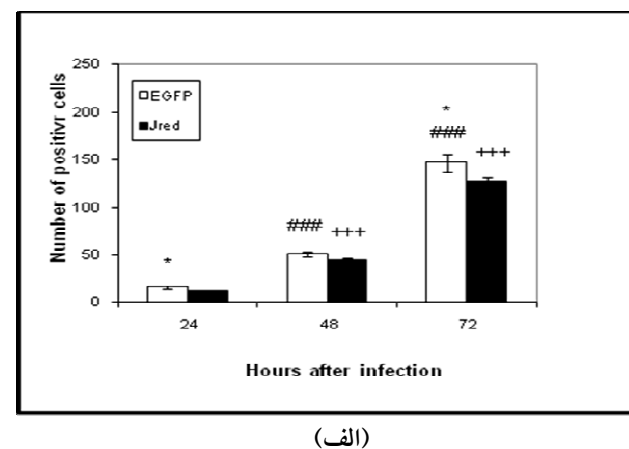
آنالیز آماری سلول‌های بیان‌کننده ترانسشن‌ها، الگویی شبیه بیان ترانسشن‌ها در مرحله ترانسفکشن را اثبات کرد. تعداد سلول‌های GFP<sup>+</sup> ۲۴ تا ۴۸ ساعت پس از ترانسدوكشن ۳ برابر شد ( $P < 0.0001$ ) و تا ۷۲ ساعت نیز ۳ برابر دیگر افزایش یافت ( $P < 0.001$ ). افزایش تعداد سلول‌های Jred<sup>+</sup> نیز از ۲۴ تا ۴۸ ساعت پس از انتقال حدود ۴ برابر و تا ۷۲ ساعت حدود ۳ برابر بوده است ( $P < 0.0001$ ).

جدول ۲ شمارش سلول‌های مثبت به GFP و Jred در فواصل زمانی پس از انتقال.

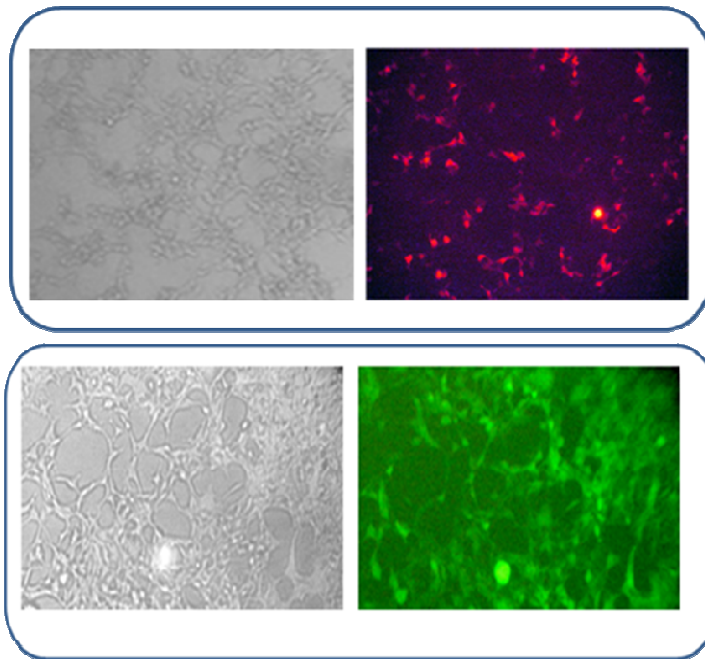
	Hours Post-Transduction		
	24	48	72
GFP	16± 1.3	51± 2.6	147± 1.1
Jred	12± 0.6	45± 2.1	128± 4.7

#### ۴-۳-آلوده کردن سلول‌های هدف با ویروس

برای تست آلودگی از سلول‌های HEK-293T استفاده کردیم و رقت‌های سریالی  $\mu\text{l}$  ۷۵, ۵۰, ۲۵, ۵, ۱۰ از هریک از ویروس‌های نوترکیب را به این سلول‌ها در پلیت‌های ۲۴ خانه اضافه کردیم. اولین نشانه‌های بیان ترانسشن‌های eGFP و Jred حدود ۲۴ ساعت پس از آلودگی زیر میکروسکوپ فلورسنت ظاهر شد. در فواصل زمانی ۷۲-۲۴ ساعت سلول‌های مثبت به ظور تصادفی در ۱۰ فیلد میکروسکوپی شمارش شدند که نتایج آنها در شکل ۴-الف منعکس شده است. در حالی که در رقت‌های ویروسی  $\mu\text{l}$  ۱۰, حداقل ۶۰ درصد سلول‌ها ۹۶ ساعت پس از آلودگی مثبت بودند، درصد سلول‌های مثبت به GFP در کلیه رقت‌های ویروسی  $\mu\text{l}$  ۲۵ به بالا به ۱۰۰٪ در زمان ۷۲ ساعت و درصد سلول‌های مثبت به Jred به ۹۵٪ در ۹۶ ساعت رسید (شکل ۴-ب).



(الف)



(ب)

شکل ۴ (الف) تعداد سلول‌های مثبت بیان‌کننده *EGFP* و *Jred* در مرحله *Infection* تعداد سلول‌ها در ۱۰ فیلد میکروسکوپی در هر شمارش شد و هر آزمایش *Infection* سه بار به طور جداگانه تکرار شد. در این تصویر هر ستون نماینده میانگین تعداد سلول‌ها در سه آزمایش *Infection* مجزا است. آنالیز آماری با تست Student's T-test انجام شد. تفاوت آماری در تعداد سلول‌های *GFP*<sup>+</sup> بین ساعت ۲۴ و ۴۸ و بین ساعت ۴۸ و ۷۲ ( $P<0.001$  or  $P<0.0001$ ) نشان داده شده است؛ همچنین تفاوت آماری در تعداد سلول‌های *Jred*<sup>+</sup> بین ساعت ۲۴ و ۴۸ و بین ساعت ۴۸ و ۷۲ ( $P<0.0001$ ) به صورت +++ مشخص شده است. از سوی دیگر تفاوت آماری بین سلول‌های *GFP*<sup>+</sup> و سلول‌های *Jred*<sup>+</sup> در ساعت ۲۴ و نیز در ساعت ۷۲ ( $P<0.05$ ) به صورت \* نشان داده شده است در صورتی که در ساعت ۴۸ تفاوت آماری معنی‌داری بین این دو گروه مشاهده نشد. (ب) تصویر میکروسکوپ فلورسنت از بیان پروتئین‌های گزارشگر *EGFP* و *pLV-Jred* به وسیله سلول‌های HEK-293T آلوده به لقی ویروس‌های نوترکیب *Jred* و *pLV-EGFP*.

قطعه GDNF موشی را با آنزیم‌های *NheI/XhoI* از ناقل pcDNA3.1/Zeo (+)-mGDNF (Kozak) جدا کرده و به ابتدای IRES (سایت آنزیمی *BglII*) در pLV-IRES-Jred پیوند زدیم. بدین ترتیب ناقل لتی ویروسی مورد نظر ما به نام pLV-GDNF به وجود آمد که در آن قطعه CMV قرار گرفته است (شکل ۵).

#### ۷-۳- تولید لتی ویروس *pLV-GDNF* و بیان ژن گزارشگر در آستروسیت‌های انسانی

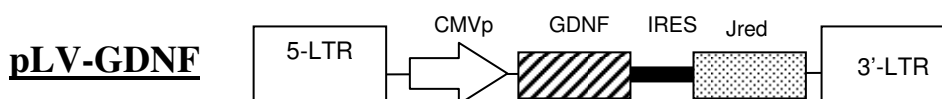
با همان شیوه بیان شده در بخش‌های پیشین، تیتر بالایی از لتی ویروس pLV-GDNF به وجود آورdim و از استوک تولید شده برای انتقال سلول‌های آستروسیتومای انسانی استفاده کردیم. در حدود یک دهم از استوک ویروسی برای انتقال ۵۰ هزار آستروسیت به کار برده شد و حداقل ۵ روز بعد تمامی سلول‌ها Jred را بیان کردند (شکل ۶).

#### ۷-۴- کارایی ستون Amicon در نگهداری ویروس‌ها

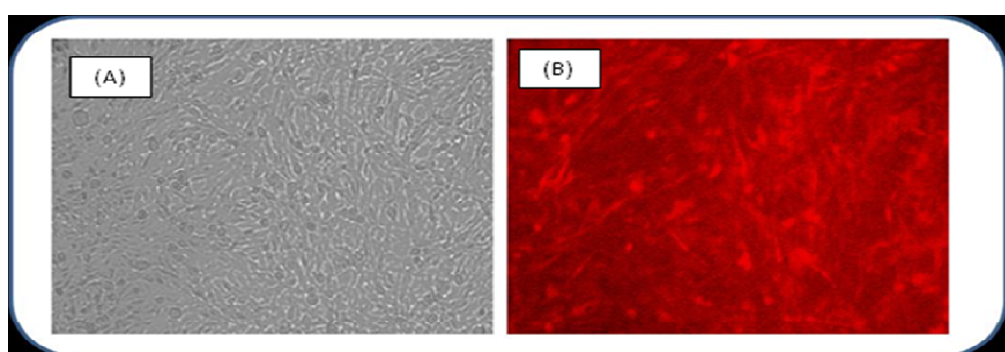
برای اطمینان از کارایی ستون‌های Amicon در حفظ حداقل تعداد ویروس فعال، ۱ ml از سوپرناتان Overflow را به  $2 \times 10^5$  سلول 293T در پلیت‌های EGFP و هم برای Jred. پس از گذشت ۹۶ ساعت هیچ‌گونه بیان EGFP و یا Jred را در زیر میکروسکوپ فلورسنت مشاهده نکردیم.

#### ۷-۵- تولید لتی ویروس حامل ژن

برای این کار ابتدا ناقل ترانسفر pLV-Jred را با برش دادیم سپس قطعه IRES را با آنزیم‌های *BamHI* از ناقل pGTx/GFP به استوک *BglII/BamHI* متصل کردیم تا ناقل برش یافته pLV-Jred تولید شود. در نهایت جدیدی به نام pLV-IRES-Jred تولید شود. در نهایت



شکل ۵ شماتیک از ناقل لتی ویروسی *pLV-GDNF*



شکل ۶ تصویر میکروسکوپ فلورسنت از بیان پروتئین Jred به‌وسیلهٔ سلول‌های آستروسیتومای انسانی آلووده به لتی ویروس‌های نوترکیب *pLV-GDNF*.

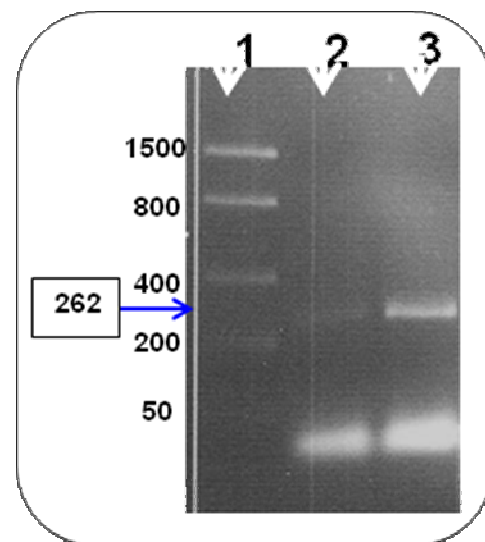
## ۴- بحث و نتیجه‌گیری

در این مطالعه ما ابتدا روش تغليظ لقى ويروس‌های نوترکيب را با استفاده از ستون‌های پروتئيني Amicon بهينه کرده و كاري آنرا برای توليد استوک ويروسی با تيتر بالا سنجيديم. اين آزمایش‌ها نشان داد که روش تغليظ به کار رفته، تيتر ويروسی مؤثر برای فعالیت عفونی ويروس ايجاد می‌کند. شمارش سلول‌های مشبت به پروتئين‌های گزارشگر که به وسیله‌ی دو ناقل لقى ويروسی مستقل حمل می‌شوند كاري آبی بالاي ويروس‌های توليد شده را در مرحله انتقال به اثبات رسانيد. با توجه به نتایج اميدوارکننده، يك ناقل لقى ويروسی جديد توليد كرديم که ژن فاكتور نوروتروفيك GDNF و Jred را همزمان حمل می‌کند. آلووده کردن آستروسيت‌های انسانی با اين لقى ويروس جديد از كاري آبی آن در انتقال و افزايش بيان ژن هدف مطمئن شدیم.

لقتی ويروس‌ها از مزایای برجسته‌ای نسبت به ويروس‌های ديگر در انتقال ژن برخوردارند. اين مزایا سبب شده از لقتی ويروس‌ها به عنوان ناقلين ژن برتر برای مطالعات فيزيولوژيکی - تکاملی و نيز در مطالعه بيماري‌های مختلف به خصوص بيماري‌های مغزو اعصاب، بافت‌های مهم کبدی، اپيتيلiali، انواع تومورها و همچنین برای توليد مدل‌های حيوانی اين بيماري‌ها بهره‌برداری وسیع شود [۲۰]. ما در این مطالعه توانستیم هم ترانسژن موجود در سازه لقتی ويروسی را با ترانسژن ديگر و به روش کلونینگ تعويض کنيم و هم هر دو ترانسژن را به شكلی به سلول‌های انسانی انتقال دهیم؛ به طوری که ۱۰۰٪ آن‌ها بيان شود. ما اين موفقیت صد در صدی را مدييون روش فیلتراسيونی می‌دانیم که در این مطالعه به کار برديم و طی آن استوک ويروسی تغليظ شده با تيتر حداکثری را به دست آوردیم.

## ۴-۸-۳- اثبات بيان ژن GDNF در آستروسيت‌ها پس از انتقال

آستروسيت‌ها به طور طبیعی فاكتور GDNF را در حد پایه بيان می‌کنند. پس از انتقال آستروسيت‌ها با ويروس pLV-GDNF افزايش بيان mRNA GDNF را در آن سلول‌ها با استفاده از واکنش RT-PCR مشاهده كردیم (شكل ۷). با استفاده از نرم‌افزار ImageJ (به بخش روش‌ها رجوع شود) غاظت<sup>۱</sup> باند GDNF مربوط به آستروسيت‌های آلووده با pV-GDNF را با باند مربوط به آستروسيت‌های آلووده به pLV-Jred [عنوان کنترل] مقایسه کردیم؛ که اين آزمایش نشان داد بيان فاكتور GDNF در آستروسيت‌های آلووده به pLV-GDNF نسبت به سلول‌های کنترل، بيش از ۳ برابر افزايش یافته است.



شكل ۷ تصویریل الکتروفورز محصول RT-PCR برای بیان GDNF marker ۱. DNA marker ۲. نمونه واکنش از سلول‌های آستروسيتومای انسانی آلووده به لقتی ويروس‌های نوترکيب pLV-Jred و ۳. همان سلول‌ها آلووده به pLV-GDNF .

1. Density

ویروسی در این روش از دست نرفته و ۱۰۰٪ ویروس‌ها در استوک تولید شده حفظ شده‌اند. بنابراین روش ما هم از نظر حجم محصول ویروسی و هم از نظر قدرت عفونی مورد نیاز و انتقال ژن می‌تواند ما را به هدف برساند و جایگزین مناسبی برای روش سنتی باشد؛ به علاوه از نظر هزینه، میزان کار و وقت لازم برای انجام آزمایش، با این روش به طور محسوسی صرفه‌جویی می‌شود.

در مسیر سنتز پروتئین‌ها، رونویسی از پلاسمیدها (که نسبت به ژنوم میزان کوچک‌ترند) بلا فاصله پس از ورود پلاسمید به هسته روی می‌دهد؛ بنابراین همان‌طور که از نتایج برمری آید بیان ترانسشن در اولین ساعات پس از ترانسفکشن قابل مشاهده خواهد بود. از سوی دیگر رپلیکاسیون پلاسمیدها نیز به دلیل کم بودن حجم آن‌ها با سرعت روی می‌دهد و این امر در کمتر از ۲۴ ساعت پس از ورود آن‌ها به هسته سلول میزان، سرعت و شدت بیان را به‌طور تصاعدی بالا می‌برد. در خصوص اختلاف بیان بین GFP و Jred تجربیات ما نشان می‌دهد که معمولاً شدت بیان GFP به‌طور محسوسی بالاتر از Jred است. به این دلیل در ساعات اولیه پس از ترانسفکشن و پس از Infection، سلول‌های GFP<sup>+</sup> بسیار واضح‌تر از سلول‌های Jred<sup>+</sup> به چشم می‌خورد و قابل شمارش هستند. اختلاف به وجود آمده در نمودارها نیز ممکن است از این موضوع ناشی شده باشد. از این رو برای بررسی تفاوت‌های واقعی بین بیان این دو ترانسشن گزارش‌گر بایستی شدت بیان آن دو نیز مد نظر قرار گیرد و ما اکنون این موضوع را با استفاده از نرم‌افزارهای استاندارد در دست آزمایش داریم.

برای تست کارایی روش فیلتراسیون، لتی ویروس‌های نوترکیب جدید را به وجود آوردیم که در آن‌ها ژن GDNF هم‌زمان با ژن گزارش‌گر Jred بیان می‌شود.

تلاش‌های زیادی برای تولید ویروس با تیتر بالا انجام شده است زیرا قدرت عفونی ویروس با تیتر آن رابطه مستقیم و تنگاتنگی دارد. بطور سنتی، لتی ویروس‌ها را با اولتراسانتریفوژ در دور بالای ۵۰ هزار و به مدت بیش از ۹۰ دقیقه رسوب می‌دهند [۲۱]. در این روش لازم است از لوله‌های مخصوص و مناسب با حجم سوپرناتان ویروسی استفاده شود که به‌علت در باز بودن این لوله‌ها نیاز به استریل کردن روتور سانتریفوژ نیز احساس می‌شود. به علاوه، رسوب ویروسی در بیشتر موارد ناچیز و یا غیرقابل رویت است و امکان فروپاشی ساختمان ذرات ویروسی در دور بالای سانتریفوژ وجود دارد. همچنین امکان شکستن لوله‌ها در چنین دور بالایی از سانتریفوژ بیشتر است تا در دورهای پایین‌تر.

برای رفع مشکلات گفته شده و رفع نیاز به اولتراسانتریفوژ گران‌قیمت و دورهای بالای سانتریفوژ، ما در این مطالعه لتی ویروس‌های عفونی با تیتر بالا را با استفاده از ستون‌های پروتئینی تولید کردیم. این ستون‌ها در دسترس است و روزمره برای تخلیص پروتئین به کار می‌رود. ما ستون‌هایی را با منافذ انتخابی برای پروتئین‌های بزرگ‌تر از ۱۰۰ کیلو Dalton انتخاب کردیم که قادرند ویروس‌ها را در خود نگهداشته و ذرات ریزتر را از خود عبور دهند. تنها ۱۵-۱۰ دقیقه زمان برای سانتریفوژ آن‌هم در دوری بسیار پایین‌تر از روش گفته شده صرف شد که این امر نیاز به دستگاه اولتراسانتریفوژ و روتورهای مخصوص ویروس را برطرف می‌کند. بدین ترتیب ما نشان دادیم که استوک ویروسی به دست آمده در این روش از قدرت عفونی حداکثری برخوردار است و حجم کوچکی به میزان یک بیستم آن ( $20:25=500$ ) قادر است تمام سلول‌های هدف را آلووده کند. تست محلول بیرون‌رفته از ستون هم نشان داد که عملاً هیچ‌گونه

- liver cancer. *J Hepatol.* 40 (2):337-40. Review.
- [4] Van Damme A., Chuah MK, Collen D., VandenDriessche T. (2004) Oncoretroviral and lentiviral vector-based gene therapy for hemophilia: preclinical studies. *Semin Thromb Hemost.* 30 (2):185-95. Review.
- [5] Woods NB, Ooka A., Karlsson S. (2002) Development of gene therapy for hematopoietic stem cells using lentiviral vectors. *Leukemia.* 16 (4):563-9. Review.
- [6] Copreni E., Penzo M., Carrabino S., Conese M. (2004) Lentivirus-mediated gene transfer to the respiratory epithelium: a promising approach to gene therapy of cystic fibrosis. *Gene Ther.* 11 Suppl 1:S67-75.
- [7] Naldini L. (1998) Lentiviruses as gene transfer agents for delivery to non-dividing cells. *Curr Opin Biotechnol.* 9 (5):457-63. Review.
- [8] Bessis N., GarciaCozar FJ, Boissier MC. (2004) Immune responses to gene therapy vectors: influence on vector function and effector mechanisms. *Gene Ther.* 2004, 11:S10-7. Review.

فاکتور GDNF برای حفاظت نورون‌های حرکتی (Motoneurons) به خصوص نورون‌های دوپامین‌ساز و همین‌طور برای تمایز این نورون‌ها اهمیت بالایی داشته و در کلینیک برای درمان بیماری‌های نوروژنراتیو و بیشتر بیماری پارکینسون، مراحل آزمایشی خود را می‌گذراند [۲۲] و [۲۳]. بیان این فاکتور در حد بهینه‌ی آن برای عملکرد مفیدش ضرورت دارد و مقادیر غیراستاندارد آن می‌تواند آثار جانبی بدی در پی داشته باشد [۲۴] و [۲۵]. از سوی دیگر تولید این فاکتور به صورت نوترکیب می‌تواند در عرصه بیوتکنولوژی صنعتی کاربرد تجاری داشته باشد. بدین منظور ما هم در مرحله ساخت سازه لقی ویروسی، یک ژن گزارشگر را گنجاندیم تا مراحل انتقال و بیان را به سرعت و سهولت آشکار کنیم و هم مراحل تولید ویروسی را با روش فیلتراسیون بهینه کردیم تا مقادیر متنابه‌ی از فاکتور GDNF به دست آید. نتایج این مطالعه برای دیگر ژن‌های کاندید قابل تعمیم است ضمن آنکه از سازه pLV-GDNF می‌توان در مطالعات و درمان بیماری‌های نوروژنراتیو استفاده کرد.

## ۵- مراجع

- [1] Neeltje A., Verma KM. (2003) Gene therapy with viral vectors. *Ann Rev Toxicol.* 43:413-439.
- [2] Jakobsson J., Lundberg C. (2006) Lentiviral vectors for use in the central nervous system. *Mol Ther.* 13 (3):484-93.
- [3] Follenzi A., Gupta S. (2004) The promise of lentiviral gene therapy for

- [15] Yamada K., McCarty DM, Madden VJ, Walsh CE. (2003) Lentivirus vector purification using anion exchange HPLC leads to improved gene transfer. *Biotechniques.* 34 (5):1074-8, 1080.
- [16] Pluta K., Luce ML, Bao L., Agha-Mohammadi S., Reiser J. (2005) Tight control of transgene expression by lentivirus vectors containing second-generation tetracycline-responsive promoters. *J Gene Med.* 7:803–817.
- [17] Matsushita, N., Fujita, Y., Tanaka, M., Nagatsu, T., Kiuchi, K., (1997) Cloning and structural organization of the gene encoding the mouse glial cell line-derived neurotrophic factor, GDNF. *Gene.* 203: 149–157.
- [18] Sandhu JK, Gardaneh M., Iwasio R., Lanthier P., Gangaraju S., Ribecco-Lutkiewicz M., Tremblay R., Kiuchi K., Sikorska M. (2009) Astrocyte-secreted GDNF and glutathione antioxidant system protect neurons against 6OHDA cytotoxicity. *Neurobiol. Dis.* 33: 405–414.
- [19] Sambrook J., Fritsch EF, Maniatis T. (2001) Molecular Cloning: A Laboratory Manual. Cold Spring Harbor Laboratory Press; 3rd ed., NY
- [9] Wu Z., Asokan A., Samulski RJ. (2006) Adeno-associated virus serotypes: vector toolkit for human gene therapy. *Mol Ther.* 14 (3):316-27.
- [10] Lundstrom K. (2003) Latest development in viral vectors for gene therapy. *Trends Biotechnol* 21 (3):117-122.
- [11] Schroder AR., Shinn P., Chen H., Berry C., Ecker J. R., and Bushman F. (2002) HIV-1 integration in the human genome favors active genes and local hotspots. *Cell.* 110: 521-529.
- [12] Mitchell, RS, et al. (2004) Retroviral DNA integration: ASLV, HIV, and MLV show distinct target site preferences. *PLoS Biol.* 2: E234.
- [13] Naldini L., Blömer U., Gage FH, Trono D., Verma IM. (1996) Efficient transfer, integration, and sustained long-term expression of the transgene in adult rat brains injected with a lentiviral vector. *Proc. Natl. Acad. Sci. U S A.* 93 (21):11382-8.
- [14] Quinonez R., Sutton RE. (2002) Lentiviral vectors for gene delivery into cells. *DNA Cell Biol.* 21 (12):937-51. Review.

- [24] Georgievska B., Kirik D., Bjorklund A. (2002) Aberrant sprouting and downregulation of tyrosine hydroxylase in lesioned nigrostriatal dopamine neurons induced by longlasting overexpression of glial cell line derived neurotrophic factor in the striatum by lentiviral gene transfer. *Exp. Neurol.* 177: 461–474.
- [25] Rosenblad C., Georgievska B., Kirik D. (2003) Long-term striatal overexpression of GDNF selectively downregulates tyrosine hydroxylase in the intact nigrostriatal dopamine system. *Eur. J. Neurosci.* 17: 260–270.
- [20] Pluta K., Kacprzak MM. (2009) Use of HIV as a gene transfer vector. *Acta Biochim. Pol.* 56 (4):531-95. Review.
- [21] Tiscornia G., Singer O., & Verma IM. (2006) Production and purification of lentiviral vectors. *Nature Protocols* 1: 241 – 245.
- [22] Slevin JT., Gash DM., Smith CD., Gerhardt GA., Kryscio R., Chebrolu H., Walton A., Wagner R., Young AB., (2007) Unilateral intraputamenal glial cell line-derived neurotrophic factor in patients with Parkinson disease: response to 1 year of treatment and 1 year of withdrawal. *J. Neurosurg.* 106: 614-20.
- [23] Yasuhara, T., Shingo T., Date I., (2007) Glial cell line-derived neurotrophic factor (GDNF) therapy for Parkinson's disease. *Acta Med. Okayama.* 61: 51-6.